



ФЕДЕРАЛЬНАЯ СЛУЖБА  
ПО ИНТЕЛЛЕКТУАЛЬНОЙ СОБСТВЕННОСТИ,  
ПАТЕНТАМ И ТОВАРНЫМ ЗНАКАМ

## (12) ОПИСАНИЕ ИЗОБРЕТЕНИЯ К ПАТЕНТУ

(21), (22) Заявка: 2005139663/28, 19.12.2005

(24) Дата начала отсчета срока действия патента:  
19.12.2005

(43) Дата публикации заявки: 27.06.2007

(45) Опубликовано: 10.12.2007 Бюл. № 34

(56) Список документов, цитированных в отчете о поиске: SU 1538703 A1, 10.12.1995. SU 1370607 A1, 30.01.1998. SU 239425 A1, 01.01.1969. JP 6130100 A, 13.05.1994.

Адрес для переписки:  
440605, г.Пенза, пр. Байдукова/ул. Гагарина,  
1а/11, Пензенская государственная  
технологическая академия

(72) Автор(ы):  
Власов Геннадий Сергеевич (RU)(73) Патентообладатель(и):  
Пензенская государственная технологическая  
академия (RU)

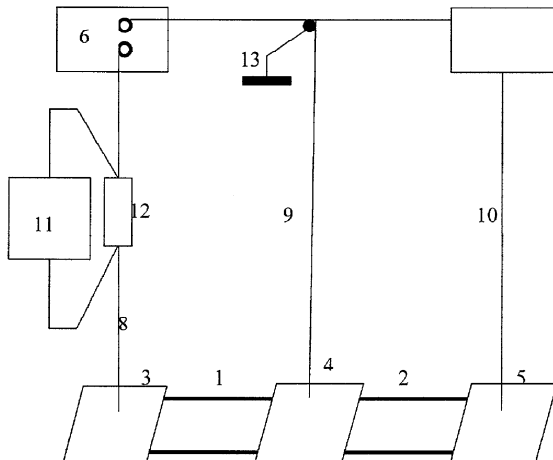
## (54) СПОСОБ ИЗМЕРЕНИЯ ПЕРЕХОДНОГО СОПРОТИВЛЕНИЯ КОНТАКТА К ТОНКОПЛЕНОЧНЫМ РЕЗИСТОРАМ С ЭЛЕКТРОДАМИ

(57) Реферат:

Способ измерения сопротивления заключается в том, что пропускают ток заданной величины через крайний и средний электроды тонкопленочного резистора с тремя электродами. Измеряют напряжение между средним и вторым крайним электродами. Переходное сопротивление контакта определяют по формуле:

$$R_{\text{эф}} = \frac{\phi_b}{IK},$$

- измеренное напряжение, I - ток заданной величины, K - коэффициент, обратный коэффициенту  $a_{11}$  цепочечной матрицы, полученной в результате электрического моделирования контактной области. Технический результат заключается в повышении точности измерения переходного сопротивления контакта тонкопленочного резистора. 3 ил.



Фиг.1

RU 2 3 1 2 3 6 5 C 2

RU 2 3 1 2 3 6 5 C 2



FEDERAL SERVICE  
FOR INTELLECTUAL PROPERTY,  
PATENTS AND TRADEMARKS

## (12) ABSTRACT OF INVENTION

(21), (22) Application: 2005139663/28, 19.12.2005

(24) Effective date for property rights: 19.12.2005

(43) Application published: 27.06.2007

(45) Date of publication: 10.12.2007 Bull. 34

Mail address:

440605, g.Penza, pr. Bajdukova/ul. Gagarina,  
1a/11, Penzenskaja gosudarstvennaja  
tekhnologicheskaja akademija

(72) Inventor(s):

Vlasov Gennadij Sergeevich (RU)

(73) Proprietor(s):

Penzenskaja gosudarstvennaja  
tekhnologicheskaja akademija (RU)

## (54) METHOD FOR MEASURING TRANSITIVE RESISTANCE OF CONTACT TO THIN-FILM RESISTORS WITH ELECTRODES

(57) Abstract:

FIELD: electric engineering.

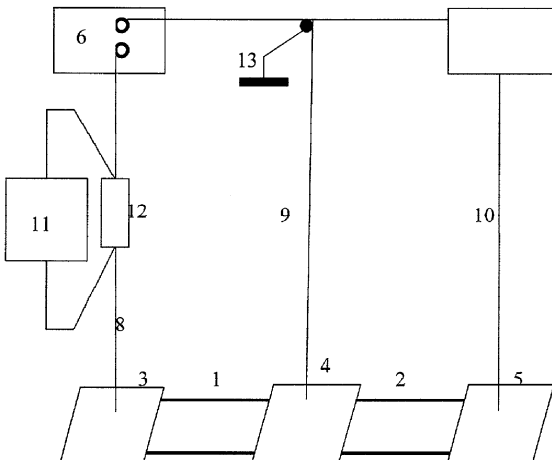
SUBSTANCE: resistance measuring method includes letting a current of given value through edge and middle electrodes of thin-film resistor with three electrodes. Voltage is measured between middle and second edge electrodes. Transitive resistance of contact is determined according to formula

$$R_{\text{eff}} = \frac{\phi_B}{IK}, \quad \text{where } \phi_B -$$

measured voltage, I - current of given value, K - coefficient, reverse of coefficient  $a_{11}$  of chain matrix, produced as a result of electric modeling of contact area.

EFFECT: increased precision when measuring transitive resistance of a contact of thin-film resistor.

3 dwg



Фиг.1

 RU  
C 2  
1 2 3 6 5  
2 3 1 2 3 6 5  
RU

 RU  
2 3 1 2 3 6 5 C 2

Область техники, к которой относится изобретение

Настоящее изобретение относится к области измерительной техники и может быть использовано при измерении переходного сопротивления контакта к тонкопленочным резисторам на технологических этапах промышленного производства микроэлектронных изделий.

**Уровень техники**

Известны различные способы измерения сопротивлений (см., например, [1] «Измерения в электронике: Справочник», В.А.Кузнецов, В.А.Долгов, В.М.Коневских и др./ Под ред. В.А.Кузнецова. - М.: Энергоатомиздат, 1987. - 512 с., С.194-217).

10 Недостатком всех описанных в указанном источнике технических решений является то, что они имеют невысокую точность измерения переходных (контактных) сопротивлений или не позволяют его измерить ввиду конструктивных особенностей изделий в микроэлектронном исполнении.

15 Известен способ измерения малых сопротивлений с помощью двойного моста Кельвина (см., например, [2] Болтон У. Карманный справочник инженера-метролога. - М.: Издательский дом "Додэка-XXI", 2002. - 384 с., С.230).

Однако данный способ невозможно непосредственно применить для измерения контактного сопротивления тонкопленочного резистора ввиду его конструктивных особенностей.

20 Известен способ измерения переходного сопротивления контакта металл - полупроводник (см. Приборы и техника эксперимента, 1969, №4, с.191-192), в котором непосредственно измерения выполняют на равных по длине участках между металлическими контактами, нанесенными на полупроводниковую пластину, а значение контактного сопротивления металл - полупроводник определяют расчетным путем, причем 25 в процессе измерения изменяют электрическую цепь протекания эталонного тока.

Недостатком такого технического решения является невысокая точность, связанная с необходимостью точного измерения расстояния между дополнительными контактными площадками, а также высокая сложность.

Наиболее близким по технической сущности к предлагаемому изобретению является 30 "Способ определения переходного сопротивления контакта к тонкопленочным резисторам с электродами" (см., А.С. 1538703, G01R 27/00, БИ №34, 1995 г.), заключающийся в том, что пропускают ток заданной величины через два электрода и измеряют напряжение между двумя электродами резистора с тремя электродами, причем ток пропускают через один из крайних и средних электродов, напряжение измеряют между вторым крайним и средним 35 электродами, а сопротивление контакта определяют путем вычисления отношения измеренного напряжения к заданной величине тока.

Недостатком этого способа является невысокая точность из-за неполной адекватности сопротивления полученного результата переходному сопротивлению контакта (см., например, [3] Смирнов В.И., Мата Ф.Ю. Теория конструкций контактов в электронной 40 аппаратуре.- М.: Советское радио, 1974. - 176 с., С.118; [4] Харинский А.Л. Основы конструирования элементов радиоаппаратуры. - Л.: Энергия, Ленинградское отд-е, 1971. - С.367), а именно, вольтметр в известном способе измеряет напряжение на резисторе с одной удаленной по направлению тока стороны контактной площадки, которое 45 не полностью совпадает с напряжением с ее ближней стороны из-за перераспределения потенциалов по длине контакта, что приводит к погрешности измерения переходного сопротивления.

**Раскрытие изобретения**

Задачей, на решение которой направлено заявляемое изобретение, является повышение точности определения переходного сопротивления контакта.

50 Достигаемый технический результат обеспечивается тем, что в способе определения переходного сопротивления контакта к тонкопленочным резисторам с электродами пропускают ток заданной величины через два электрода: крайний и средний, тонкопленочного резистора с тремя электродами и измеряют напряжение между двумя

электродами: средним и вторым крайним, а переходное сопротивление контакта определяют по формуле

$$R_{\text{эфф}} = \frac{\varphi_B}{IK},$$

- 5 где  $\varphi_B$  - измеренное напряжение, I - ток заданной величины, K - коэффициент, обратный коэффициенту  $a_{11}$  цепочечной матрицы, полученной в результате электрического моделирования контактной области.

Краткое описание чертежей

- На фиг.1 представлена схема реализации предложенного способа определения 10 переходного сопротивления контакта к тонкопленочным резисторам. На фиг.2 представлена конструкция контактов: участок соединения контактов с элементами 1-2 тонкопленочного резистора.

Элементы схем обозначены следующим образом.

- 15 1-2 - участки резистивной пленки; 3-5 - контактные площадки; 6 - источник тока; 7 - цифровой милливольтметр; 8-10 - соединительные зонды; 11 - цифровой вольтметр; 12 - образцовый резистор.

- На фиг.2 представлена опытная конструкторская модель контактного соединения: 20 участок соединения контактной площадки 4 с элементами 1-2 тонкопленочного резистора; длина d контактной площадки, отсчитываемая от начала координат X/Y; разбиение контактной области на слои 1-2; 1-20 и заштрихованный (переходной) слой контактной зоны.

- На фиг.3 представлена электрическая модель контактной области: r - сопротивление контактной зоны (переходной слой) на единицу длины; R - сопротивление резистивной пленки на единицу длины;  $R_{\text{рез}}$  - сопротивление резистивного участка 1; А и В - узлы 25 электрического соединения.

Осуществление изобретения

Способ измерения состоит в следующем.

- Объект измерения представляет собой резистивную полосу с участками 1 и 2, на которую нанесены контактные площадки 3-5, к которым подведены зонды 8-10. Зонд 9 30 соединен с общей шиной 13 и с первыми клеммами источника тока 6 и цифрового милливольтметра 7, вторая клемма которого соединена с зондом 10. Зонд 8 соединен с первым токовым выводом образцового резистора 12, второй токовый вывод которого подключен к второй клемме источника тока, а потенциальные выводы образцового резистора 12 подключены к цифровому вольтметру 11.

- 35 Если принять соотношения между удельными объемными сопротивлениями:

$$\rho_{\text{рез}} / \rho_{\text{пер}} = 10 \div 100, \quad \rho_{\text{рез}} / \rho_{\text{мет}} = 10000 \quad (1)$$

- где  $\rho_{\text{рез}}$  - удельное сопротивление резистивной пленки,  $\rho_{\text{пер}}$  - удельное сопротивление переходного слоя и  $\rho_{\text{мет}}$  - удельное сопротивление контакта, в качестве металла которого используется алюминий, то приемлемой электрической моделью контактной области может считаться эквивалентная схема, представленная на фиг.3.

- При этом, если соединить контактную площадку 4 с корпусом 13 (земляной шиной), как это представлено на фиг.1, а в тонкопленочном резисторе задать ток I с помощью источника тока 6, образцового измерительного резистора 12 и вольтметра 11 с входным сопротивлением, близким к бесконечности, то переходное сопротивление контакта, 45 названное в работе [4] эффективным сопротивлением, можно рассчитать по формуле:

$$R_{\text{эфф}} = \frac{\varphi_A}{I}, \quad (2)$$

где  $\varphi_A$  - потенциал узла А (фиг.3) относительно «земляной» шины 13.

- 50 При этом отношение потенциалов в узлах В и А схемы фиг.3 можно назвать коэффициентом деления или коэффициентом передачи К:

$$K = \frac{\varphi_B}{\varphi_A}, \quad (3)$$

Если связать контактную область с системой координат XY, как представлено на фиг.2, то элементы r и R являются погонными на единицу длины контакта, а ток через соответствующие элементы r будет зависеть от координаты X. Согласно, например, работам [3, 4] эта зависимость носит экспоненциальный характер:

$$5 \quad I(x) = C e^{Bx}, \quad (4)$$

где x - координата по длине контакта фиг.2, C и B - соответствующие коэффициенты. С другой стороны:

$$I(x) = \frac{\varphi(x)}{r}, \quad (5)$$

10 где  $\varphi(x)$  - узловые потенциалы по схеме фиг.3, причем  $\varphi_A = \varphi(0) = I(0)r$ ,  $\varphi_B = \varphi(d) = I(d)r$ , d - координата, равная длине контакта.

Коэффициент C из формулы (4) можно определить при x=0. При этом  $C = I(0) = \varphi_A/r = \varphi(0)/r$ .

Подставляя (5) в (4), получим:

$$15 \quad \varphi(x) = \varphi_A e^{Bx}, \quad (6)$$

где  $\varphi(x)$  - меняющийся по длине контакта потенциал узлов схемы фиг.3.

Для x=d и с учетом (3) получим:

$$\varphi(d) = \varphi_A K = \varphi_A e^{Bd}, \quad (7)$$

откуда определим коэффициент B:

$$20 \quad K = e^{Bd}, \quad B = \ln K / d. \quad (8)$$

Так как K электрической схемы фиг.3 всегда меньше 1, то B всегда имеет отрицательное значение. При этом схема фиг.3 представляет собой цепочечную структуру и легко может быть свернута с учетом заданных соотношений (1) в трехэлементный канонический четырехполюсник по известным из теории электрических цепей правилам.

25 Цепочечная матрица полученного таким образом трехэлементного четырехполюсника:

$$a = \begin{pmatrix} a_{11} & a_{12} \\ a_{21} & a_{22} \end{pmatrix}, \quad (9)$$

имеет параметр  $a_{11}$ , равный обратной величине K, т.е.  $a_{11}=1/K$ .

30 Полный ток I из соотношения (2) также равен:

$$I = \int_0^{x=d} \frac{\varphi_0}{r} e^{Bx} dx, \quad (10)$$

где верхний предел равен длине d контакта. В результате интегрирования (10) получим:

$$35 \quad I = \frac{\varphi_0}{rB} (e^{Bd} - 1), \quad (11)$$

где  $\varphi_0 = \varphi_A$ , т.е. потенциал на левой стороне контакта фиг.2 равен потенциальному узла A фиг.3. Выполнив преобразования с учетом (3), получим формулу погонного сопротивления переходной зоны:

$$40 \quad r = \frac{d(K-1)\varphi_B}{IK \ln K}, \quad (12)$$

на основании которой можно проверить правильность выбора условия (1), а переходное сопротивление контакта определить по формуле (2) с учетом соотношений (7) и (8).

Схема реализации способа представлена на фиг.1, где напряжение, равное величине  $\varphi_B$ , измеряется цифровым милливольтметром 7 с входным сопротивлением, близким к бесконечности, а ток I задается с помощью образцового резистора 12 и цифрового вольтметра 11. При этом предполагается, что источник тока 6 является управляемым или регулируемым источником.

Лабораторные испытания выполнялись с тонкопленочным резистором, резистивная пленка которого толщиной 0,2 мкм и шириной 2 мкм в области его элементов 1-2, фиг.1-2, получена вакуумным напылением на подложке. Алюминиевый контакт размером 2.2-2 мкм наносился на резистивное покрытие вакуумным напылением. В качестве источника тока использовался калибратор П 320, а в качестве вольтметра использовался прибор Щ

31 в режиме измерения постоянного тока, в качестве цифрового милливольтметра - прибор В1-18.

#### Формула изобретения

- 5 Способ определения переходного сопротивления контакта к тонкопленочным резисторам с электродами, заключающийся в том, что пропускают ток заданной величины через два электрода: крайний и средний, тонкопленочного резистора с тремя электродами и измеряют напряжение между двумя электродами: средним и вторым крайним, отличающийся тем, что переходное сопротивление контакта определяют по формуле

10  $R_{\text{эфф}} = \frac{\varphi_B}{IK}$ ,

где  $\varphi_B$  - измеренное напряжение;  $I$  - ток заданной величины;  $K$  - коэффициент, обратный коэффициенту  $a_{11}$  цепочечной матрицы, полученной в результате электрического моделирования контактной области.

15

20

25

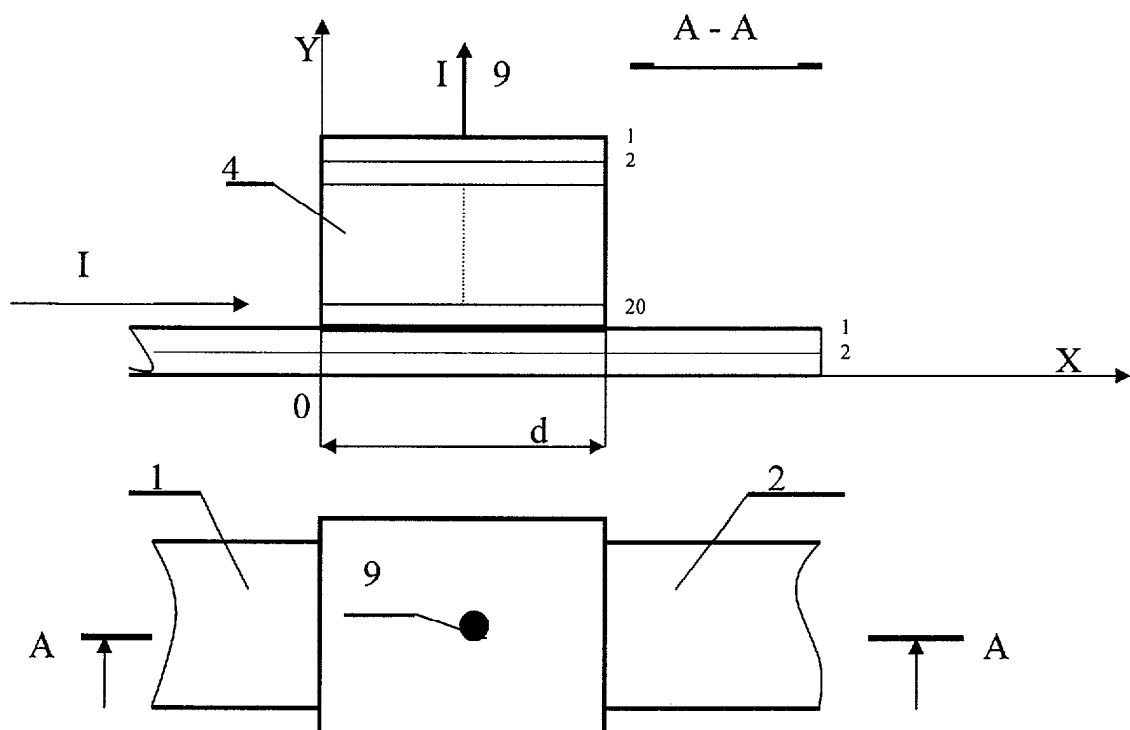
30

35

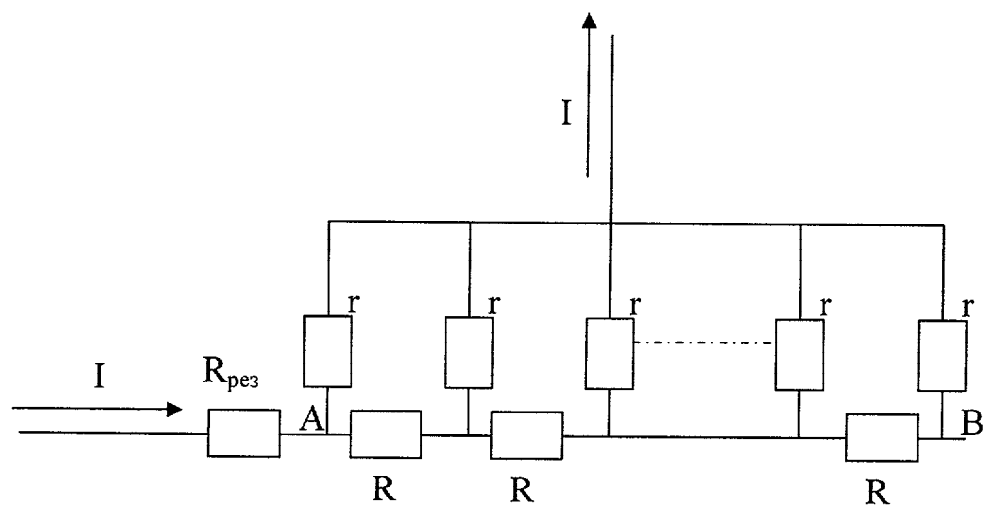
40

45

50



Фиг.2



Фиг. 3